

УДК 629.7.054

## В. Н. Мельник

Національний технічний університет України «Київський політехнічний інститут», Київ

# Об особливостях динамики гіроскопа с многофазным подвесом в акустических полях

*Надійшла до редакції 19.09.02*

Аналізується природа взаємодії акустичного випромінювання з гіроскопічними пристроями керування РН, підвіс яких є поліагрегатною механічною системою. Розкрито механізм виникнення додаткових похибок вимірювань та визначено алгоритм їхнього прояву.

Оценка параметров полета широкого класса космических аппаратов проводится уже непосредственно на борту ракеты-носителя (РН) и потому вопросы точности построения опорной системы координат, связанной, например, с самолетом-носителем, приобретают исключительную важность.

В настоящее время в странах с развитой ракетно-космической индустрией все большее внимание уделяется созданию перспективных средств выведения космических аппаратов (КА) на заданные траектории движения, в частности разработке двухступенчатых авиационно-космических систем. Роль первой ступени в системах воздушного базирования выполняет дозвуковой самолет-носитель, создающий необходимые предпосылки для старта второй ступени с КА целевого назначения [8]. Вторая ступень реализуется либо РН, либо орбитальным самолетом.

Моменту активного отделения второй ступени предшествует и вывод на номинальный режим работы ее маршевых двигателей с одновременной подготовкой к работе навигационно-пилотажного оборудования. Наряду с прочими функциональными операциями, в это время строится система заданных ориентирных направлений, либо триортогональная система координатных осей.

Оставляя в стороне вопросы специфики самого маневра разделения и разведения, остановимся подробнее на еще малоизученном в настоящее вре-

мя явлении — влиянии прошедшего в подобтекательное пространство акустического излучения на приборы командно-измерительного комплекса РН, в частности на двухступенчатый гироскоп с гидростатическим подвесом подвижной части.

Достижения практической космонавтики расширили и вывели на качественно высшую ступень сложившиеся представления о характере рассеяния энергии звуковых полей в механических системах бортовой аппаратуры летательных аппаратов (ЛА), определили перспективы развития и совершенствования измерителей механических величин, а также очертили круг прикладных задач в приборостроении, требующих безотлагательного решения [3, 6].

Как оказалось, многие из новинок научно-технической мысли, позволявшие решать задачи синтеза инвариантных приборных систем в акустических полях низкого и среднего уровней (до 130 дБ), утратили свои приоритеты, а в некоторых случаях даже привели к ухудшению паспортных характеристик приборов, например в акустических полях высокой интенсивности. А именно такие режимы имеют место в натурных условиях.

Все сказанное выше в полной мере относится к поплавковым гироскопам, конструктивно лишенным основных недостатков «сухих» приборов — значительных по величине (и главное, непостоянных) моментов сил сухого трения на выходной оси, а также недопустимо высокой чувствительности к

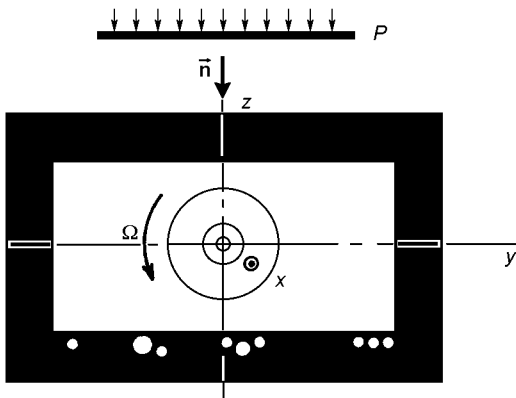


Рис. 1. Расположение пузырьков газа в плоскостях штангоута датчика угловых скоростей унифицированного (ДУСУ)

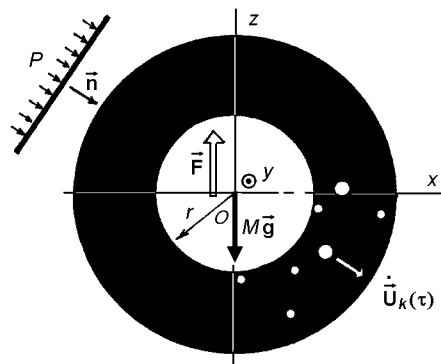


Рис. 2. О природе возникновения возмущающего момента при перемещении пузырьков газа в гидростатическом подвесе

ударным и вибрационным воздействиям [1, 2, 7, 9, 10]. Создание плавающих гироскопов явилось началом нового этапа развития не только гироскопической техники как таковой, но и развития навигационно-пилотажного оборудования подвижных объектов в целом. Поплавковые двухступенчатые гироскопы (дифференцирующий и интегрирующий) нашли, например, широкое применение в блоках демпфирующих гироскопов ЛА, в системах управления движением РН, а также в качестве чувствительных элементов гироскопических стабилизированных платформ.

Объяснение факту увеличения погрешностей поплавковых гироскопов при работе в акустических полях 140—150 дБ и выше лежит, как говорится, на поверхности. Жидкофазная часть подвеса гироскопа, являясь лучшим проводником звука, чем газообразная, позволяет беспрепятственно проникнуть акустическому излучению внутрь прибора. Генерируемые в подвесе волновые процессы в своей совокупности приведут к погрешностям измерений. Таким образом, гироскоп оказывается практически незащищенным от звуковых полей в подобъемательном пространстве РН и взвешивающая жидкость, решая определенные задачи динамики прибора, по сути дела нивелирует саму идею поплавка в акустических полях выше 140 дБ.

Проанализируем один из аспектов появления дополнительных погрешностей у поплавкового гироскопа. Речь идет о влиянии анизотропности жидкофазной части подвеса.

В натурных условиях вследствие ударных воздействий, вибрации, температурных и других факторов (или их совокупности) в разделяющей попла-

вок и корпус прибора жидкости могут образовываться газообразные пузырьки, которые под действием акустического излучения будут перемещаться в сторону распространяющейся волны избыточного давления, т. е. в зону акустической тени (рис. 1).

Таким образом, будет нарушено исходное равновесие массовых и гидростатических сил, что приведет к появлению возмущающего момента относительно выходной оси.

В исходном состоянии силы веса гироузла  $M\vec{g}$  и архимедова сила  $\vec{F}$  направлены по одной прямой в противоположные стороны и пересекают точку  $O$  — центр подвеса. Образование пузырьков газа, естественно, приведет к параллельному смещению вектора  $\vec{F}$  и возникновению момента-помехи  $M^a$  (рис. 2):

$$M^a = \frac{M_0^0}{m_*} g \sum_{l=1}^m \sum_{k=1}^n \left[ m_k r \sin(\hat{n}, \hat{x}) + m_l r \sin(\hat{n}, \hat{x}) + m_k \int_0^t \dot{U}_k(\tau) \sin(\hat{n}, \hat{x}) d\tau + m_l \int_0^t \dot{U}_l(\tau) \sin(\hat{n}, \hat{x}) d\tau \right], \quad (1)$$

где  $M_0$  — масса вытесненной поплавком жидкости,  $m_*$  — масса жидкости, разделяющей поплавок и корпус,  $m_k$ ,  $m_l$  — массы пузырьков газа,  $n$  — число пузырьков газа в плоскости одного штангоута,  $m$  — число штангоутов,  $\dot{U}_k(\tau)$ ,  $\dot{U}_l(\tau)$  — скорости движения пузырьков газа под действием акустической волны,  $r$  — радиус поплавка,  $g$  — ускорение свободного падения.

Очевидно, что возникновение этого момента является наиболее опасным для интегрирующего гироскопа, так как дифференцирующий гироскоп с

прекращением действия звуковой волны возвращается пружиной в исходное положение.

Для определения закона движения  $U_{k,l}(t)$  пузырьков газа, например, с учетом только трения о жидкость, можно воспользоваться интегро-дифференциальными соотношениями [4]:

$$\begin{aligned} m_k \ddot{U}_k(t) + \int_0^t [m_{k0} \delta_1(t-\tau) + \alpha] \ddot{U}_k(\tau) d\tau = \\ = m_k^0 [\delta_1(t) - \delta_1(t-1)] + \\ + \int_0^t [m_{k0} \delta_1(t-\tau) + \alpha] \cdot [\delta_1(\tau) - \delta_1(\tau-1)] d\tau, \quad (2) \end{aligned}$$

где  $m_k^0$  — масса вытесненной пузырьком жидкости;  $m_{k0}$  — присоединенные массы;  $\alpha$  — коэффициент вязкого сопротивления при движении пузырька в жидкости;  $\delta_1(t)$  — дельта-функция Дирака.

Применив одностороннее преобразование Лапласа при нулевых начальных условиях, из (2) определяем перемещения  $U_k(p)$  в операторной форме:

$$\begin{aligned} U_k(p) = \frac{(m_k^0 + m_{k0})p + \alpha}{p^2[(m_k + m_{k0})p + \alpha]} - \\ - \frac{e^{-p} [(m_k^0 + m_{k0})p + \alpha]}{p^2[(m_k + m_{k0})p + \alpha]}. \quad (3) \end{aligned}$$

Переходя к оригиналу, устанавливаем закон движения пузырька под действием звуковой волны:

$$\begin{aligned} U_k(t) = \frac{m_k^0 + m_{k0}}{m_k + m_{k0}} + \\ + \frac{m_k - m_k^0}{m_k + m_{k0}} \sum_{n=1}^{\infty} (-1)^{n+1} \nu_1^n \frac{t^{n+1} - (t-1)^{n+1}}{(n+1)!}, \quad (4) \end{aligned}$$

для  $t \geq 1$ , где

$$\nu_1 = \frac{\alpha}{m_k + m_{k0}}.$$

В том случае, когда вязкое сопротивление незначительно по величине, а время  $T$  достаточно велико ( $\nu_1 T \ll 1$ ), за период времени  $1 \leq t \leq T$  перемещение пузырька определяется только первым слагаемым. Несложно определить и величину предельного перемещения. Достаточно положить  $t \rightarrow \infty$ . Тогда из формулы (4) имеем

$$U_{k\infty} = \lim_{t \rightarrow \infty} U_k(t) = \frac{m_k^0 + m_{k0}}{m_k + m_{k0}}. \quad (5)$$

Пусть по прошествии какого-либо промежутка времени акустическое излучение прекратилось. Тогда из формулы (1) с учетом выражения (5) имеем

$$\begin{aligned} M^a = \frac{M^0}{m_{\infty}} g \sum_{l=1}^m \sum_{k=1}^n \left[ (m_k + m_l) r \sin(\hat{n}, \hat{x}) + \right. \\ \left. + \left( m_k \frac{m_k^0 + m_{k0}}{m_k + m_{k0}} U_{k\infty} + m_l \frac{m_l^0 + m_{l0}}{m_l + m_{l0}} U_{l\infty} \right) \times \right. \\ \left. \times \sin(\hat{n}, \hat{x}) \right]. \quad (6) \end{aligned}$$

Очевидно, что если пузырьки газа останутся на поверхности поплавка, формула (6) упростится:

$$M = \frac{M^0}{m_{\infty}} g \sum_{l=1}^m \sum_{k=1}^n (m_k + m_l) r \sin(\hat{n}, \hat{x}). \quad (7)$$

Воспользовавшись уравнениями движения двухступенного интегрирующего гироскопа с учетом соотношений (6), можно провести качественную и количественную оценки влияния пузырьков газа на показания прибора в условиях акустического нагружения [5]. Ограничимся рамками прецессионной теории:

$$\begin{aligned} b\dot{\beta} = -H\omega_z \cos\beta - H\omega_x \sin\beta + B\dot{\omega}_y + M + \\ + \frac{M^0}{m_{\infty}} g \sum_{l=1}^m \sum_{k=1}^n \left\{ (m_k + m_l) r + \right. \\ \left. + m_k \left[ t - \frac{1}{\alpha} (m_k - m_k^0)(1 - e^{-\nu_1 t}) \right] \delta_0(t) - \right. \\ \left. - m_k \left[ t - 1 - \frac{1}{\alpha} (m_k - m_k^0)(1 - e^{-\nu_1(t-1)}) \right] \delta_0(t-1) + \right. \\ \left. + m_l \left[ t - \frac{1}{\alpha} (m_l - m_l^0)(1 - e^{-\nu_1 t}) \right] \delta_0(t) - \right. \\ \left. - m_l \left[ t - 1 - \frac{1}{\alpha} (m_l - m_l^0)(1 - e^{-\nu_1(t-1)}) \right] \times \right. \\ \left. \times \delta_0(t-1) \right\} \sin(\hat{n}, \hat{x}), \quad (8) \end{aligned}$$

где  $B = J_0 + J_y$ ,  $R = J_0 + J_z - J_x$ ; величины  $J_x$ ,  $J_y$ ,  $J_z$  — суть моменты инерции поплавка,  $b$  — коэффициент демпфирования,  $J_0$  — экваториальный момент инерции ротора,  $H$  — кинетический момент гироскопа,  $\beta(t)$  — угол поворота подвижной части относительно выходной оси  $O_y$ ;  $\omega_x$ ,  $\omega_y$ ,  $\omega_z$  — угловые скорости движения РН относительно своего центра масс,  $M$  — прочие моменты-помехи (дебаланса, трения, тяжения токоподводов и др.),  $\delta_0(t)$  — функция Хевисайда,  $Oz$  и  $Oy$  — входная и выходная оси прибора соответственно.

Отсюда не представляет особого труда определить величину систематической составляющей дрейфа нуля интегрирующего гироскопа, представляющей наибольший интерес для практики:

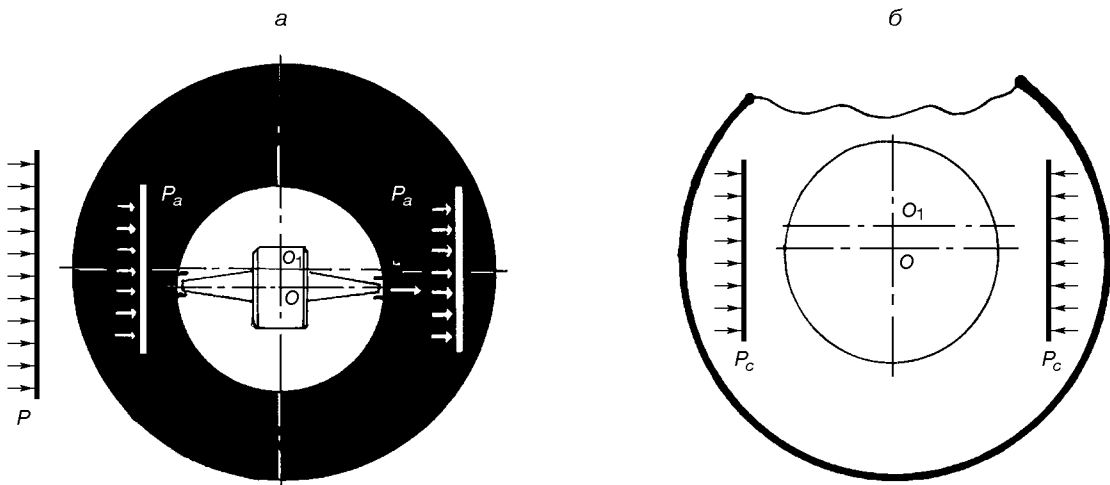


Рис. 3. Влияние парусности подвеса на дополнительную погрешность прибора. Точка  $O_1$  находится на выходной оси прибора

$$\begin{aligned} \dot{\beta}_{\text{уст}} = & \frac{M^a}{b} = \frac{M^0}{bm_*} g \sum_{l=1}^m \sum_{k=1}^n \left\{ (m_k + m_l)r + \right. \\ & + m_k \left[ t - \frac{1}{\alpha} (m_k - m_k^0)(1 - e^{-\nu_1 t}) \right] \delta_0(t) - \\ & - m_k \left[ t - 1 - \frac{1}{\alpha} (m_k - m_k^0)(1 - e^{-\nu_1(t-1)}) \right] \delta_0(t-1) + \\ & + m_l \left[ t - \frac{1}{\alpha} (m_l - m_l^0)(1 - e^{-\nu_1 t}) \right] \delta_0(t) - \\ & - m_l \left[ t - 1 - \frac{1}{\alpha} (m_l - m_l^0)(1 - e^{-\nu_1(t-1)}) \right] \times \\ & \left. \times \delta_0(t-1) \right\} \sin(\hat{n}, \hat{x}). \quad (9) \end{aligned}$$

Первые четыре слагаемых в правой части выражения (8) известны. Это соответственно полезный момент, погрешность по перекрестной угловой скорости  $\omega_x$ , погрешность от влияния углового ускорения  $\dot{\omega}_y$  и другие моменты-помехи  $M$ . Последнее слагаемое, представленное в расширенном виде выражением (9), есть дополнительная погрешность, обусловленная появлением пузырьков газа в жидкофазной части подвеса, которые, взаимодействуя с акустической волной, приводят к дополнительной погрешности измерений.

В заключение отметим, что при сборке поплавков проходит тщательную статистическую и динамическую балансировку. Вместе с тем его геометрическая асимметричность относительно выходной оси (равно как и ненулевая плавучесть) приведет к возникновению дополнительных моментов-помех при работе в акустических полях.

Объяснение этому утверждению состоит в следующем. Нулевая плавучесть или геометрическая асимметрия (парусность) относительно выходной оси приведут к тому, что подвижная часть будет представлять собой физический маятник. Набегающая звуковая волна, а точнее ее антисимметричная составляющая  $P_a$  (рис. 3) —

$$P_a = \frac{1}{2} (P_{10} + P_{20} + P_{30}) \exp[i(\omega t - k_0 r)]$$

(здесь  $k_0$  — волновой вектор,  $P_{10}$ ,  $P_{20}$  и  $P_{30}$  — соответственно давление в падающей, отраженной и прошедшей звуковых волнах,  $\omega$  — круговая частота) — приведут к раскачке подвижной части и возникновению возмущающего момента  $M$  [3]:

$$\begin{aligned} M(P_a) = & \rho \left[ \int_s y \frac{\partial E}{\partial t} \cos(\hat{n}_z, \eta) ds + \right. \\ & + \int_s y \frac{\partial \epsilon}{\partial t} \cos(\hat{n}_z, \eta) ds - \int_s z \frac{\partial E}{\partial t} \cos(\hat{n}_y, \eta) ds - \\ & \left. - \int_s z \frac{\partial \epsilon}{\partial t} \cos(\hat{n}_y, \eta) ds \right], \quad (10) \end{aligned}$$

где  $E(\eta)$  и  $\epsilon(\eta)$  — соответственно потенциал скорости падающей и дифракционной волн,  $\eta$  — направление распространения звуковой волны.

Таким образом, плавающие приборы, в отличие от поплавковых, в акустических полях имеют, при прочих равных условиях, меньшую погрешность измерений.

1. Данилин В. П. Гирокопические приборы: Учебное пособие. — М.: Высшая школа, 1965.—539 с.

2. Ишлинский А. Ю. Ориентация, гироскопы и инерциальная навигация. — М.: Наука, 1976.—671 с.
  3. Каракун В. В., Мельник В. Н., Лозовик В. Г., Одинцов А. А. Погрешности гироскопического интегратора линейных ускорений в натурных условиях / Под ред. В. В. Каракуна. — Киев: Корнейчук, 2001.—144 с.
  4. Коchin К. Е., Кибель Н. А., Розе Н. В. Теоретическая гидромеханика. — Л.-М.: Гос. изд-во технико-теор. лит., 1948.—Ч. 1.—535 с.
  5. Лунц Я. Л. Ошибки гироскопических приборов. — Л.: Судостроение, 1968.—232 с.
  6. Мельник В. Н., Каракун В. В., Саверченко В. Г. Акустическая вибрация оболочечных фрагментов двигателей // Авиаційно-космічна техніка і технологія: Зб. наук праць.—Харків: Нац. аерокосмічний ун-т «Харк. Авіац. ін-т»,—2001.—Вип. 26. Двигуни та енергоустановки.—С. 85—89.
  7. Сломянский Г. А., Прядилов Ю. Н. Поплавковые гироскопы и их применения. — М.: Оборонгиз, 1959.—248 с.
  8. Тимошенко В. И., Гусынин В. П. Использование гиперзвуко-ковых технологий при создании перспективных транспортных систем // Космічна наука і технологія.—1999.—5, № 1.—С. 78—89.
9. Pat. 2752790 USA, 2752792 USA, 2752793 USA / C. S. Draper, et al. — Publ. July 1956.
10. Pat. 2853287 USA. — Publ. Sept. 1957.

---

#### ABOUT FEATURES SPEAKERS OF A GYROSCOPE WITH MULTIPHASE BRACKET IN ACOUSTICS FIELDS

V. N. Melnik

The nature of interaction of audio radiation with gyroscopic instruments of handle of missiles-carriers is parsed, bracket which represents a polymodular mechanical system. The mechanism of origin of padding errors of measurements surveyed and the algorithm of their manifestation is defined.